

■ 科技部科技基础性工作专项资助

项目名称：青藏高原低涡、切变线年鉴的研编

项目编号：2006FY220300

中国气象局成都高原气象研究所基本科研业务费专项资助

项目名称：2013高原涡年鉴研编

项目编号：BROP201407

青藏高原低涡 切 变 线 年 鉴

2013

中国气象局成都高原气象研究所
中国气象学会高原气象学委员会 编著

科技部科技基础性工作专项资助

项目名称：青藏高原低涡、切变线年鉴的研编

项目编号：2006FY220300

中国气象局成都高原气象研究所基本科研业务费专项资助

项目名称：2013年高原低涡年鉴的研编

项目编号：BROP201407

青藏高原低涡 切 变 线 年 鉴 2013



中国气象局成都高原气象研究所

编著

中国气象学会高原气象学委员会

主编：彭 广

副主编：李跃清 郁淑华

编 委：彭 骏 徐会明 肖递祥 罗 清 向朔育

科学出版社
北京

内 容 简 介

青藏高原低涡、切变线是影响我国灾害性天气的重要天气系统。本书根据对2013年高原低涡、切变线的系统分析，得出该年高原低涡、切变线的编号，名称，日期对照表，概况，影响简表，影响地区分布表，中心位置资料表及活动路径图，高原低涡、切变线移出高原的影响系统；计算得出该年高原低涡、切变线影响降水的各次高原低涡、切变线过程的总降水量图、总降水日数图。

本书可供气象、水文、水利、农业、林业、环保、航空、军事、地质、国土、民政、高原山地等方面的科技人员参考，也可作为相关专业教师、研究生、本科生的基本资料。

审图号：GS(2009)1573号

图书在版编目(CIP)数据

青藏高原低涡切变线年鉴. 2013 / 中国气象局成都高原气象研究所，
中国气象学会高原气象学委员会编著. —北京：科学出版社，2015.2

ISBN 978-7-03-043111-0

I. ①青… II. ①中… ②中… III. ①青藏高原—灾害性天气—天气分析—
2013—年鉴 IV. ①P44-54

中国版本图书馆CIP数据核字(2015)第016732号

责任编辑：许 瑞 罗 吉

责任校对：刘小梅 / 责任印制：肖 兴

科学出版社出版

北京京东黄城根北街 16 号

邮政编码：100717

<http://www.sciencep.com>

北京佳信达欣艺术印刷有限公司 印刷

科学出版社编务公司排版制作

科学出版社发行 各地新华书店经销

*
2015年2月第一 版 开本：A4 (880×1230)

2015年2月第一次印刷 印张：21 1/4

字数：720 000

定价：580.00元

(如有印装质量问题，我社负责调换)



前 言

高原低涡、切变线是青藏高原上生成的特有的天气系统，其发生、发展和移动的过程中，常常伴随有暴雨、洪涝等气象灾害。我国夏季多发暴雨洪涝、泥石流滑坡灾害，在很大程度上与高原低涡、切变线东移出青藏高原密切相关。高原低涡、切变线的活动不仅影响青藏高原地区，而且还东移影响我国青藏高原以东下游广大地区。高原低涡、切变线是影响我国的主要灾害性天气系统之一。

新中国成立以来，随着青藏高原观测站网的建立，卫星资料的应用，以及我国第一、第二次青藏高原大气科学试验的开展，关于高原低涡、切变线的科研工作也取得了一定的成绩，使我国高原低涡、切变线的科学研究、业务预报水平不断提高，为防灾减灾、公共安全做出了很大的贡献。

为了进一步适应农业、工业、国防和科学技术现代化的需要，满足广大气象台（站）及科研、教学、国防、经济建设等部门的要求，更好地掌握高原低涡、切变线的活动规律，系统地认识高原低涡、切变线发生、发展的基本特征，提高科学研

究水平和预报技术能力，做好主要气象灾害的防御工作，在国家科技部的支持下，由中国气象局成都高原气象研究所负责，四川省气象台参加，组织人员，开展了青藏高原低涡、切变线年鉴的研编工作。

经过项目组的共同努力，以及有关省、市、自治区气象局的大力协助，高原低涡、切变线年鉴顺利完成。并且，它的整编出版，将为我国青藏高原低涡、切变线研究和应用提供基础性保障，推动我国灾害性天气研究与业务的深入发展，发挥对国家经济繁荣、社会进步、公共安全的气象支撑作用。

本年鉴由中国气象局成都高原气象研究所、中国气象学会高原气象学委员会完成。

本册《高原低涡、切变线年鉴（2013）》的内容主要包括高原低涡、切变线概况、路径、东移出青藏高原的影响系统以及高原低涡、切变线引起的降水等资料图表。

Foreword

The Tibetan Plateau Vortex (TPV) and Shear Line (SL) are unique weather systems generated over the Qinghai-Xizang Plateau. The rain storms, floods and other meteorological disasters usually occur during the generation, development and movement of the TPV. In China, the regular happening mud-rock flow and land-slip disaster in summer has close relationship with the TPV which moved out of the Plateau. The movements of the TPV and SL not only influence the Qinghai-Xizang Plateau region, but also influence the east vast region of the Plateau. The TPV and SL are two of the most disastrous weather systems that influence China.

After the foundation of P.R.China, the researches on TPV and SL and the operational prediction works have gotten obvious achievements along with the establishment of the observatory station net, the applying of the satellite data, and the development of the first and the second Tibetan Plateau experiment of atmospheric sciences. All these have great

contributions to preventing and reducing the happening of the weather disaster and to the public safety.

In order to satisfy the modernization demands of the agriculture, industry, national defence and scientific technology, and to meet the requirements of the vast meteorological stations, colleges, national defence administrations and economic bureaus, the Chengdu Institute of Plateau Meteorology did the researches on the yearbook of vortex and shear over Qinghai-Xizang Plateau under the support from the Ministry of Science and Technology of P.R.China. Also, this task is achieved with the helps from the researchers in Sichuan Provincial Meteorology Station. This task improves the understanding of the characteristics of the moving TPV and SL, get thorough recognition of the generation and development of TPV and SL, and improve abilities of the research works and operational predictions to prevent the meteorological disasters.

With the research group's efforts and the great support from related meteorological bureaus of provinces, autonomous region and cities, the TPV and SL Yearbook completed successfully. The yearbook offers a basic summary to TPV and SL research works, improves the catastrophic weather research and operational prediction. Also, it is useful to the economy glory, advance of society and public safety.

The TPV and SL Yearbook 2013 is accomplished by Institute of Plateau Meteorology, CMA, Chengdu and Plateau Meteorology Committee of Chinese Meteolological Society.

The TPV and SL Yearbook 2013 is mainly composed of figures and charts of survey, tracks, weather systems that move out of the Plateau Vortex and influenced rainfall of TPV and SL.

说 明

本年鉴主要整编青藏高原上生成的低涡、切变线的位置、路径及青藏高原低涡、切变线引起的降水量、降水日数等基本资料。分为二大部分，即高原低涡和高原切变线。

高原低涡指500hPa等压面上反映的生成于青藏高原，有闭合等高线的低压或有三个站风向呈气旋式环流的低涡。

高原切变线指500hPa等压面上反映在青藏高原上，温度梯度小、三站风向对吹的辐合线或二站风向对吹的辐合线长度大于5个经（纬）距。

冬半年指1~4月和11~12月，夏半年指5~10月。

本年鉴所用时间一律为北京时间。

高原低涡

● 高原低涡概况

高原低涡移出高原是指低涡中心移出海拔 $\geq 3000m$ 的青藏高原区域。

高原低涡编号是以字母“C”开头，按年份的后两位数与当年低涡顺序两位数组成。

高原低涡移出几率指某月移出高原的高原低涡个数与该年高原低涡个数之比。

高原低涡月移出率指某月移出高原的高原低涡个数与该年移出高原的高原低涡个数之比。

高原东（西）部低涡移出几率指某月移出高原的高原东（西）部低涡个数与该年高原东（西）部低涡个数之比。

高原东（西）部低涡月移出率指某月移出高原的高原东（西）部低涡个数与该年移出高原的高原东（西）部低涡个数之比。

高原东、西部低涡指低涡中心位置分别在 92.5°E 东、西。

高原低涡中心位势高度最小值频率分布指按各时次低涡500hPa等压面上位势高度（单位为位势什米）最小值统计的频率分布。

● 高原低涡编号、名称、日期对照表

高原低涡出现日期以“月.日”表示。

● 高原低涡路径图

高原低涡出现日期以“月.日”表示。

● 高原低涡中心位置资料表

“中心强度”指在500hPa等压面上低涡中心位势高度，单位为位势什米。

● 高原低涡纪要表

“生成点”指高原低涡活动路径的起始点，因资料所限，故此点不一定是真正的源地。

高原低涡活动的生成点、移出高原的地点，一般精确到县、市。

“转向”指路径总的趋向由偏东方向移动转为偏西方向移动。

“内折向”指高原低涡在青藏高原区域内转向；“外转向”指高原低涡在青藏高原区域以东转向。

● 高原低涡降水

高原低涡和其他天气系统共同造成的降水，仍列入整编。

“总降水量图”指一次高原低涡活动过程中在我国引起的降水总量分布图。一般按 0.1mm 、 10mm 、 25mm 、 50mm 、 100mm 等級，以色标示出，绘出降水区外廓线，一般标注其最大的总降水量数值。

“总降水量图”中高原低涡出现日期以“月.日时”表示。

“总降水日数图”指一次高原低涡活动过程中在我国引起的降水总量 $\geq 0.1\text{mm}$ 的降水日数区域分布图。

高原切变线

● 高原切变线概况

高原切变线移出高原是指切变线中点移出海拔高度 $\geq 3000\text{m}$ 的青藏高原区域。

高原切变线编号是以字母“S”开头，按年份的后两位数与当年切变线顺序两位数组成。

高原切变线移出几率指某月移出高原的高原切变线个数与该年高原切变线个数之比。

高原切变线月移出率指某月移出高原的高原切变线个数与该年移出高原的高原切变线个数之比。

高原东（西）部切变线移出几率指某月移出高原的高原东（西）部切变线个数与该年高原东（西）部切变线个数之比。

高原东（西）部切变线月移出率指某月移出高原的高原东（西）部切变线个数与该年移出高原的高原东（西）部切变线个数之比。

高原东、西部切变线指切变线中点位置分别在 92.5°E 东、西。

高原切变线两侧最大风速频率分布指按各时段分别在切变线附近的南、北侧最大风速统计的频率分布。

● 高原切变线编号、名称、日期对照表

高原切变线出现日期以“月.日”表示。

● 高原切变线路径图

高原切变线出现日期以“月.日”表示。

● 高原切变线位置资料表

高原切变线位置一般以起点、中点、终点的经/纬度位置表示。

“拐点”指高原切变线上东、西或北、南二段的切线的夹角 $\geq 30^{\circ}$ 的切变线上弯曲点。

● 高原切变线纪要表

“生成位置”指高原切变线活动路径的起始位置，因资料所限，故此位置不一定是真正的源地。

高原切变线活动的生成位置、移出高原的位置，一般精确到县、市。

“移向”以高原切变线中点连线的趋向。

“多次折向”指路径出现在2次以上由偏东方向移动转为偏西方向移动。

“内向反”指高原切变线在青藏高原区域内由偏东方向移动转为偏西方向移动。

“外向反”指高原切变线在青藏高原区域以外由偏东方向移动转为偏西方向移动。

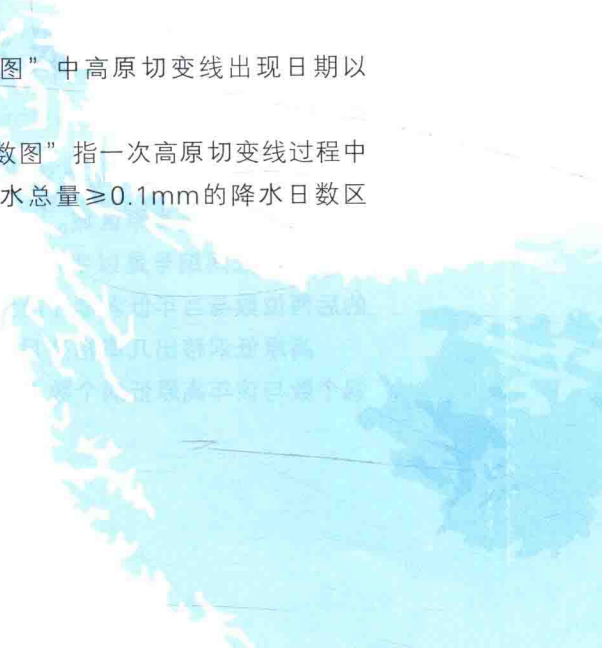
● 高原切变线降水

高原切变线和其他天气系统共同造成的降水，仍列入整编。

“总降水量图”指一次高原切变线过程中在我国引起的降水总量分布图。一般按 0.1mm 、 10mm 、 25mm 、 50mm 、 100mm 等级，以色标示出，绘出降水区外廓线，一般标注其最大的总降水量数值。

“总降水量图”中高原切变线出现日期以“月.日时”表示。

“总降水日数图”指一次高原切变线过程中在我国引起的降水总量 $\geq 0.1\text{mm}$ 的降水日数区域分布图。



目 录

Contents

前言

Foreword

说明

第一部分 高原低涡

2013年高原低涡概况(表1~表10)	2~6
高原低涡纪要表	7~11
高原低涡对我国影响简表	12~19
2013年高原低涡编号、名称、日期对照表	20~22
高原低涡路径图	23~51
青藏高原低涡降水资料	53
① C1301 3月7日	
总降水量图	54
总降水日数图	55

② C1302 3月11日	
总降水量图	56
总降水日数图	57
③ C1303 3月18日	
总降水量图	58
总降水日数图	59
④ C1304 3月26~28日	
总降水量图	60
总降水日数图	61
⑤ C1305 3月30日	
总降水量图	62
总降水日数图	63
⑥ C1306 3月31日~4月1日	
总降水量图	64
总降水日数图	65
⑦ C1307 4月4日	
总降水量图	66
总降水日数图	67
⑧ C1308 4月11~12日	
总降水量图	68
总降水日数图	69
⑨ C1309 4月17日	
总降水量图	70
总降水日数图	71
⑩ C1310 4月21日	
总降水量图	72
总降水日数图	73
⑪ C1311 4月28~29日	
总降水量图	74
总降水日数图	75
⑫ C1312 5月2日	
总降水量图	76
总降水日数图	77
⑬ C1313 5月3~5日	
总降水量图	78
总降水日数图	79
⑭ C1314 5月7~8日	
总降水量图	80
总降水日数图	81
⑮ C1315 5月9日	
总降水量图	82
总降水日数图	83

目 录

Contents

⑯ C1316 5月10~11日		㉒ C1322 6月2日		㉘ C1328 6月26日		㉔ C1334 7月7日	
总降水量图	84	总降水量图	96	总降水量图	108	总降水量图	120
总降水日数图	85	总降水日数图	97	总降水日数图	109	总降水日数图	121
⑰ C1317 5月13日		㉓ C1323 6月4~10日		㉙ C1329 6月27日		㉕ C1335 7月8日	
总降水量图	86	总降水量图	98	总降水量图	110	总降水量图	122
总降水日数图	87	总降水日数图	99	总降水日数图	111	总降水日数图	123
⑱ C1318 5月13~16日		㉔ C1324 6月6~7日		㉚ C1330 6月29日~7月2日		㉖ C1336 7月10日	
总降水量图	88	总降水量图	100	总降水量图	112	总降水量图	124
总降水日数图	89	总降水日数图	101	总降水日数图	113	总降水日数图	125
⑲ C1319 5月15~17日		㉕ C1325 6月13日		㉛ C1331 7月1日		㉗ C1337 7月12~14日	
总降水量图	90	总降水量图	102	总降水量图	114	总降水量图	126
总降水日数图	91	总降水日数图	103	总降水日数图	115	总降水日数图	127
㉐ C1320 5月22~23日		㉖ C1326 6月20日		㉜ C1332 7月4~7日		㉘ C1338 7月16~17日	
总降水量图	92	总降水量图	104	总降水量图	116	总降水量图	128
总降水日数图	93	总降水日数图	105	总降水日数图	117	总降水日数图	129
㉑ C1321 5月24~27日		㉗ C1327 6月23日		㉝ C1333 7月7日		㉙ C1339 7月20~22日	
总降水量图	94	总降水量图	106	总降水量图	118	总降水量图	130
总降水日数图	95	总降水日数图	107	总降水日数图	119	总降水日数图	131

目 录

Contents

④0 C1340 7月23日	总降水量图	132	④6 C1346 8月31日~9月1日	总降水量图	144	⑤2 C1352 9月21日	总降水量图	156	⑤8 C1358 12月13日	总降水量图	168
总降水日数图	133		总降水日数图	145		总降水日数图	157		总降水日数图	169	
④1 C1341 7月24~25日			④7 C1347 9月4~5日			⑤3 C1353 9月29~30日			⑤9 C1359 12月18~20日		
总降水量图	134		总降水量图	146		总降水量图	158		总降水量图	170	
总降水日数图	135		总降水日数图	147		总降水日数图	159		总降水日数图	171	
④2 C1342 7月31日~8月1日			④8 C1348 9月6~7日			⑤4 C1354 10月19日			⑥0 C1360 12月18日		
总降水量图	136		总降水量图	148		总降水量图	160		总降水量图	172	
总降水日数图	137		总降水日数图	149		总降水日数图	161		总降水日数图	173	
④3 C1343 8月7~8日			④9 C1349 9月8日			⑤5 C1355 10月25日			⑥1 C1361 12月20日		
总降水量图	138		总降水量图	150		总降水量图	162		总降水量图	174	
总降水日数图	139		总降水日数图	151		总降水日数图	163		总降水日数图	175	
④4 C1344 8月21日			⑤0 C1350 9月9日			⑤6 C1356 10月28~29日			高原低涡中心位置资料表		
总降水量图	140		总降水量图	152		总降水量图	164				176~182
总降水日数图	141		总降水日数图	153		总降水日数图	165				
④5 C1345 8月28日			⑤1 C1351 9月15日			⑤7 C1357 12月1日					
总降水量图	142		总降水量图	154		总降水量图	166				
总降水日数图	143		总降水日数图	155		总降水日数图	167				

目 录 Contents

第二部分 高原切变线

2013年高原切变线概况 (表11~表20)	184~189
高原切变线纪要表	190~193
高原切变线对我国影响简表	194~198
2013年高原切变线编号、名称、日期对照表	199~200
高原切变线路图	201~231

青藏高原切变线降水量资料	233
① S1301 1月7日	
总降水量图	234
总降水日数图	235
② S1302 1月21日	
总降水量图	236
总降水日数图	237
③ S1303 2月8日	
总降水量图	238
总降水日数图	239
④ S1304 3月7日	
总降水量图	240
总降水日数图	241
⑤ S1305 3月17日	
总降水量图	242
总降水日数图	243
⑥ S1306 3月18日	
总降水量图	244
总降水日数图	245
⑦ S1307 3月22日	
总降水量图	246
总降水日数图	247
⑧ S1308 3月25日	
总降水量图	248
总降水日数图	249
⑨ S1309 3月29日	
总降水量图	250
总降水日数图	251
⑩ S1310 4月18日	
总降水量图	252
总降水日数图	253

目 录

Contents

⑪ S1311 4月22~23日		⑯ S1316 6月14日		㉓ S1323 7月9日	
总降水量图	254	总降水量图	264	总降水量图	278
总降水日数图	255	总降水日数图	265	总降水日数图	279
⑫ S1312 5月17~18日		⑰ S1317 6月18日		㉔ S1324 7月12日	
总降水量图	256	总降水量图	266	总降水量图	280
总降水日数图	257	总降水日数图	267	总降水日数图	281
⑬ S1313 5月23~24日		⑯ S1318 6月20日		㉕ S1325 7月14~15日	
总降水量图	258	总降水量图	268	总降水量图	282
总降水日数图	259	总降水日数图	269	总降水日数图	283
⑭ S1314 5月30日		⑰ S1319 6月21~22日		㉖ S1326 7月18~19日	
总降水量图	260	总降水量图	270	总降水量图	284
总降水日数图	261	总降水日数图	271	总降水日数图	285
⑮ S1315 5月31日~6月1日		㉑ S1320 6月23~24日		㉗ S1327 7月26日	
总降水量图	262	总降水量图	272	总降水量图	286
总降水日数图	263	总降水日数图	273	总降水日数图	287
⑯ S1316 6月14日		㉒ S1321 6月25日		㉘ S1328 7月28~29日	
总降水量图	264	总降水量图	274	总降水量图	288
总降水日数图	265	总降水日数图	275	总降水日数图	289
⑰ S1317 6月18日		㉓ S1322 7月6日			
总降水量图	266	总降水量图	276		
总降水日数图	267	总降水日数图	277		

目 录

Contents

㉙ S1329 8月10~13日		㉙ S1334 9月3日		㉙ S1339 10月16~17日	
总降水量图	290	总降水量图	300	总降水量图	310
总降水日数图	291	总降水日数图	301	总降水日数图	311
㉚ S1330 8月22日		㉚ S1335 9月20日		㉚ S1340 10月20日	
总降水量图	292	总降水量图	302	总降水量图	312
总降水日数图	293	总降水日数图	303	总降水日数图	313
㉛ S1331 8月27~28日		㉛ S1336 9月25日		㉛ S1341 10月21日	
总降水量图	294	总降水量图	304	总降水量图	314
总降水日数图	295	总降水日数图	305	总降水日数图	315
㉜ S1332 8月29~30日		㉜ S1337 10月1~3日		㉜ S1342 10月22日	
总降水量图	296	总降水量图	306	总降水量图	316
总降水日数图	297	总降水日数图	307	总降水日数图	317
㉝ S1333 9月2日		㉝ S1338 10月6日		高原切变线位置资料表	
总降水量图	298	总降水量图	308		318~328
总降水日数图	299	总降水日数图	309		



第一部分

高原低涡

Tibetan Plateau
Vortex

2013年 高原低涡概况

2013年发生在青藏高原上的低涡共有61个，其中在青藏高原东部生成的低涡共有46个，在青藏高原西部生成的低涡共有15个（表1~表3）。

2013年初生成高原低涡出现在3月上旬，最后一个高原低涡生成在12月中旬（表1）。从月际分布看，主要集中在5~7月，约占50%（表1）。移出高原的青藏高原低涡也主要集中在5~7月，约占60%（表4）。本年度高原低涡生成在3~12月，且各月生成高原低涡的个数差异大，具体见表1。

2013年青藏高原低涡源地大多数在青藏高原东部。移出高原的青藏高原低涡共有15个，其中14个高原低涡生成于青藏高原东部（表4~表6）。移出高原的地点主要集中在甘肃、四川、陕

西、云南，其中甘肃8个，四川5个，陕西、云南各1个（表7）。

本年度高原低涡中心位势高度最小值以572~583位势什米的频率最多，约占68%（表8）。夏半年，高原低涡中心位势高度最小值以576~583位势什米的频率最多，约占57%（表9）。冬半年，高原低涡中心位势高度最小值在568~575位势什米内，约占53%（表10）。

全年有两次高原低涡无降水，分别是C1357和C1360低涡。其余59次中除影响青藏高原外对我国其余地区有影响的高原低涡共有33个。其中11个高原低涡造成过程的降雨量在100mm以上，造成过程降水量在150mm以上的高原低涡有8个，它们是C1318、C1321、C1323、C1326、C1330、C1336、C1339、C1343低

涡，分别在江西都昌、山东日照、安徽黄山、四川青川、四川遂宁、四川大邑、甘肃灵台、四川都江堰，造成过程降水量分别为170.2mm、204.3mm、287.9mm、166.0mm、518.6mm、280.0mm、195.0mm、193.0mm，降水日数分别是2天、3天、5天、1天、3天、1天、1天、2天。2013年对我国降水影响较强的高原低涡主要是C1321、C1323低涡，其中C1321高原低涡引起的降水是影响我国省份最多、范围最广的一次过程。5月24日08时在高原中部杂多生成的C1321高原低涡，中心位势高度为578位势什米，低涡形成后向东移，中心强度不变。25日08时，低涡东移出高原进入甘肃，低涡增强，中心强度为576位势什米。之后低涡继续东移增强，25日20时，中心强度为573位势什米。后低涡东移入河南，转向东北移动、增强，27日08时低涡移入渤海，中心位势强度达569位势什米，在海面上空继续东北移。27日20时以后低涡减弱消亡。受其影响，四川、甘肃、重庆、贵州、陕西、

河南、山东、江苏、安徽、湖北和湖南地区降了大雨、暴雨，降水日数为2~4天，并有7个100mm以上暴雨中心，其中1个为200mm以上的大暴雨中心。西藏、青海、宁夏、山西、北京、天津、辽宁等部分地区也降了小到中雨，降水日数1~3天。6月4日20时生成在高原东部曲麻莱的C1323高原低涡，是2013年影响我国长江流域降水最强的高原低涡。低涡形成初期中心位势高度为579位势什米，高原低涡形成后向东移，中心强度在减弱，5日20时低涡移出高原进入陕西，中心减弱为582位势什米。6日08时后低涡继续东移，中心强度逐渐增强，8日08时低涡在江苏东部将移入海，中心位势高度为572位势什米。以后低涡入海，转向东北移动，低涡中心强度开始逐渐减弱，10日08时移到朝鲜半岛南端，后减弱消亡。受其影响，四川、重庆、贵州、湖北、湖南、安徽、江西、江苏、上海和浙江降了大雨、暴雨，降水日数为2~7天，并有5个100mm以上暴雨中心，其中2个为200mm以上的大暴雨中心。西

藏、青海、甘肃、宁夏、河南、陕西、山东也降了小到中雨，降水日数2~7天。

6月29日08时生成在高原东部曲麻莱的C1330高原低涡，是2013年对我国青藏高原及其东侧降水影响最大的高原低涡。低涡形成初期中心位势高度为579位势什米，高原低涡形成后向东南移，中心强度减弱，6月29日20时移到高原东部边缘，中心位势高度为581位势什米。后低涡继续东南移，在30日08时后移出高原进入甘肃，低涡强度增强，位势高度为577位势什米。30日20时低涡向南移到四川盆地，低涡强度减弱，位势高度为581位势什米。以后在四川盆地内转了一个圈，中心位势高度变化不大，于2日08时后减弱消亡。受其影响，西藏、青海、四川、甘肃、陕西、重庆部分地区降了大雨到特大暴雨，其中四川盆地降了暴雨到特大暴雨，并有一个500mm以上的特大暴雨中心，降水日数2~4天。贵州、云南部分地区降了小到中雨，降水日数2~3天。

表1 高原低涡出现次数

月 年	1	2	3	4	5	6	7	8	9	10	11	12	合计
2013	0	0	6	5	10	9	12	4	7	3	0	5	61
几率 / %	0.00	0.00	9.84	8.20	16.39	14.75	19.67	6.56	11.47	4.92	0.00	8.20	100

表2 高原东部低涡出现次数

月 年	1	2	3	4	5	6	7	8	9	10	11	12	合计
2013	0	0	3	4	10	9	9	2	5	3	0	1	46
几率 / %	0.00	0.00	6.52	8.69	21.74	19.57	19.57	4.35	10.87	6.52	0.00	2.17	100

表3 高原西部低涡出现次数

月 年	1	2	3	4	5	6	7	8	9	10	11	12	合计
2013	0	0	3	1	0	0	3	2	2	0	0	4	15
几率 / %	0.00	0.00	20.00	6.67	0.00	0.00	20.00	13.33	13.33	0.00	0.00	26.67	100